

УДК 541.84.182 : 548.0

**ОСОБЕННОСТИ ПЛАВЛЕНИЯ
И КРИСТАЛЛИЧЕСКОЙ СТРУКТУРЫ
ПОЛИВИНИЛСТЕАРАТА В ПОРИСТЫХ МАТРИЦАХ**

Ф. М. Алиев, К. С. Поживилко

Методами малоуглового и широкоуглового рассеяния рентгеновских лучей и дифференциальной сканирующей калориметрии впервые исследована кристаллическая структура, особенности плавления и кристаллизации полимерного кристалла в порах различных размеров. Выбор объекта исследования, особенностью которого является соизмеримость структурного элемента с размером объема кристаллизации, позволил экспериментально определить межфазную энергию кристалл—расплав, радиус критического зародыша и максимальный средний размер микрофазы, ниже которого кристалл не образуется.

Изучение физических свойств жидкостей и твердых тел в порах малых размеров привлекает большое внимание теоретиков и экспериментаторов. Это обусловлено тем, что такие исследования позволяют наиболее наглядно получать информацию о поверхностных и размерных эффектах в конденсированном состоянии вещества. Известными примерами таких эффектов являются сдвиги и размытие в порах температур фазовых переходов как первого, так и второго рода, а также невозможность на искривленной поверхности упаковки атомов, характерной для массивного кристаллического материала [1]. Отличие поверхностных свойств вещества от объемных может иметь принципиальный характер и проявляться в возникновении вблизи поверхности новых, отсутствующих в объеме, фаз и переходов между ними [2].

Несмотря на существенный прогресс в исследовании размерных эффектов в твердых телах [1, 3–5], по-прежнему остается актуальным вопрос, поставленный Вильсоном и Когутом [6]: «Как долго можно уменьшать объем и количество вещества без качественного изменения его свойств?»

До последнего времени остается неясным, возможна ли кристаллизация и каковы структурные особенности среды в том случае, когда характерный размер частиц кристаллизующегося вещества сравним с размером пор. Одним из путей решения поставленных задач является исследование структуры кристаллизующегося гребнеобразного полимера в пористых матрицах с развитой поверхностью. В этом случае ожидаемые эффекты, связанные с ориентирующим действием твердой поверхности на макромолекулу или ее фрагменты, могут проявиться наиболее ярко. Кроме того, размер структурной единицы полимера—макромолекулы соизмерим с характерным размером пор, а в случае микропор даже превышает его.

В настоящей работе методами малоуглового и широкоуглового рассеяния рентгеновских лучей и дифференциальной сканирующей калориметрии (ДСК) были исследованы особенности кристаллической структуры и плавления кристаллизующегося гребнеобразного полимера—поливинилстеарата (ПВЭ-17) в микро- и макропорах.

В качестве матриц были использованы микропористые и макропористые силикатные стекла, структурные характеристики которых хорошо

изучены [7] и в интервале температур $T=270 \pm 380$ К практически остаются постоянными. Объемные доли пор, средние размеры и удельные поверхности раздела фаз использованных матриц были равны: $\omega_1=0.38$, $R_1=600$ Å, $(S/V)_1=20$ м² на 1 см³ (макропоры) и $\omega_2=0.26$, $R_2=60$ Å, $(S/V)_2=100$ м² на 1 см³ (микропоры). Синтез полимера проведен непосредственно в порах методом радикальной полимеризации по методике, описанной в [8]. Образцы были приготовлены в ИВС АН СССР и любезно предоставлены Л. В. Замойской и В. Н. Згонником. Молекулярная масса полимера была определена вискозиметрически и равна $M=340\,000$.

Рентгеновские измерения в области малых углов выполнены на малоугловой компактной камере Кратки производства фирмы «Anton Paar»

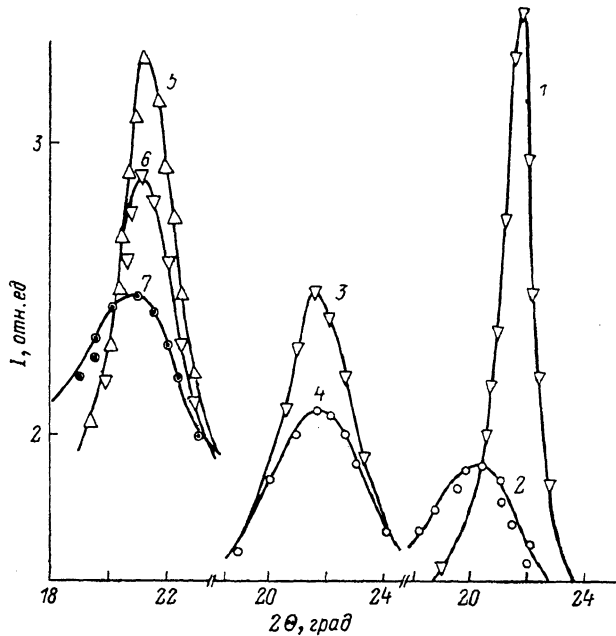


Рис. 1. Широкоугловые дифрактограммы (θ — угол дифракции) для ПВЭ-17 в свободном состоянии (1, 2), в микропорах (3, 4) и в макропорах (5—7).

T, K : 1 — 318; 2, 7 — 327; 3 — 295; 4 — 315; 5 — 321; 6 — 323.

(Австрия) в угловом интервале от 1.5 до 180' на длине волны рентгеновского излучения $\lambda=1.54$ Å (CuK_{α} -линия), что соответствует диапазону характерных размеров D_{Bp} , рассчитываемых по формуле Брэгга—Вульфа от 3500 до 20 Å. В качестве монохроматора использовался никелевый фильтр. Порог накопления сигнала в каждой точке выбирался так, чтобы погрешность измерений интенсивности не превосходила 2 %. Съемка рентгенограмм проведена при следующих параметрах камеры: ширина входной щели 20 мкм, размеры щели детектора 40 мкм × 8 мм, расстояние образец—приемник $a=20$ см. Эти параметры обеспечивают угловое разрешение не хуже чем 0.006°. Управление и контроль за процессом съемки рентгенограмм и сбор данных осуществлялись с помощью ЭВМ.

Широкоугловые рентгенограммы получены на дифрактометре ДРОН-УМ-1 в угловом интервале 10—40°, на длине волны $\lambda=1.54$ Å (CuK_{α} -линия), в качестве фильтра использован графитовый монохроматор.

Калориметрические измерения проведены на микрокалориметре ДСМ-2 с навесками, масса которых варьировалась от 10 до 50 мг; скорости сканирования 6 и 12 К/мин. Для более точного определения температур плавления и кристаллизации использовали нагревательный столик производства фирмы «Mettler» — модель FP-80 (Швейцария), а о фазовом пере-

ходе судили, наблюдая в поляризационный микроскоп исчезновение или появление оптической анизотропии. Параллельно плавление фиксировалось по исчезновению пика на широкоугловых дифрактограммах, а температуры плавления, определенные таким образом, полностью согласовывались с данными прямых измерений.

Синтезированный полимер в свободном состоянии при температурах, меньших температуры плавления $T_{\text{пп}}=325$ К, обладает кристаллической структурой, обусловленной гексагональной упаковкой боковых радикалов в плоскости, перпендикулярной их оси, с периодом решетки $d=4.2$ Å, который определен из широкоугловой дифрактограммы (рис. 1, кривая 1) по стандартной методике и хорошо согласуется с известным значением [9].

ПВЭ-17, синтезированный в микро- и макропорах, также обладает кристаллической структурой, что следует из наличия пика на дифракто-

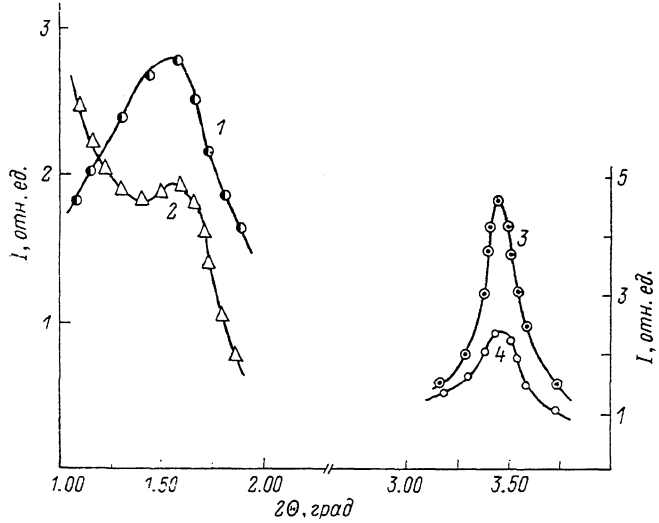


Рис. 2. Малоугловые рентгенограммы. $T=295$ К.

1, 2 — поливинилстеарат (левая шкала); 3, 4 — винилстеарат (правая шкала). 1, 3 — свободное состояние; 2, 4 — в макропорах.

граммах 3 и 5 (рис. 1), причем положение пика на всех дифрактограммах совпадает. Это означает, что ограничение объема кристаллизации не оказывается на величине периода d , соответствующего гексагональной упаковке боковых радикалов.

Малоугловые рентгенограммы для исследованных образцов, полученные в интервале углов $2\theta=0.5 \div 2^\circ$, приведены на рис. 2. Наличие размытого максимума на рентгенограммах 1 и 2 связано с двухслойной упаковкой боковых цепей и соответствует величине большого периода $D=56$ Å. Такое значение D соответствует упаковке двух боковых радикалов и одного диаметра основной цепи и согласуется с малоугловым максимумом для мономера (рис. 2, кривые 3, 4), соответствующим однослойной упаковке с периодом $d_1=26$ Å.

На рис. 3 изображены схемы однослойной упаковки низкомолекулярного винилстеарата, двухслойной упаковки гребнеобразных макромолекул поливинилстеарата и гексагональной упаковки боковых радикалов в плоскости, перпендикулярной их оси. В микропористом стекле рефлекс, определяющий большой период $D=56$ Å, отсутствует, что указывает на невозможность возникновения упорядоченности, период которой сравним с размером объема кристаллизации. Размер пор влияет также на термодинамические характеристики исследуемого кристаллизующегося полимера. Температуры и удельные теплоты плавления ПВЭ-17 в порах снижаются по сравнению с соответствующими значениями для полимера

в свободном состоянии и зависят от размера пор. Это видно из термограмм (рис. 4). Температуры плавления, определенные по положению пиков на кривых 1—3, соответствуют температурам исчезновения оптической анизотропии и исчезновения пиков на широкоугловых дифрактограммах и равны: $T_{\text{пп}}=325$ К (свободное состояние), $T_1=324$ К (в макропорах) и $T_2=315$ К (в микропорах). Удельные теплоты плавления имели следующие значения (Дж/г): $q=67$ (свободное состояние), $q_1=64$ (в макропорах), $q_2=40$ (в микропорах).

Уменьшение температуры плавления твердой фазы в порах установлено для большого количества веществ в разных матрицах [1, 4, 5, 10–12].

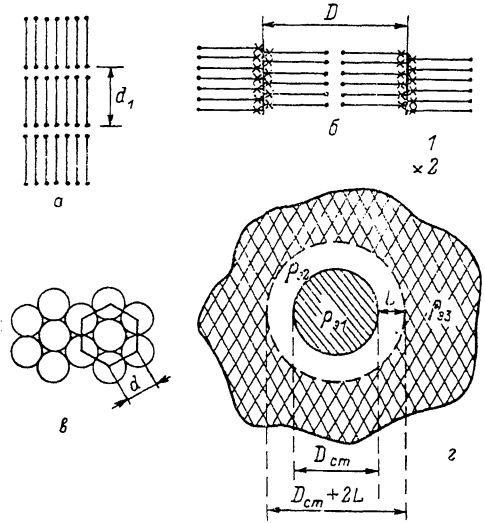


Рис. 3. Схемы однослоиной упаковки винилстеарата (a), двухслойной упаковки гребнеобразных макромолекул (б), гексагональной упаковки боковых радикалов (в), поверхностный слой полимера (г).

$\rho_{\text{ст}} = \text{стекло}$, $\rho_{\text{п}} = \text{поверхностный слой полимера}$,
 $\rho_{\text{м}} = \text{полимер в межпоровом пространстве}$, $\rho_{\text{ст}} > \rho_{\text{п}} > \rho_{\text{м}}$. 1 — груша CH_3 , 2 — участок крепления бокового радикала.

Плавление в порах не имеет принципиального отличия от плавления свободных частиц в сильно дисперсном состоянии и в обоих случаях может рассматриваться как размерный эффект (имеется в виду размер плавящихся частиц, а не размерность пространства). Наличие искривленной поверхности поры может лишь способствовать нарушению дальнего позиционного порядка [1], а в предельном случае монослоя приводить к полному отсутствию такового. Сдвиг температуры плавления $\Delta T=T_{\text{пп}}-T_1$, описывается формулой Томсона

$$\Delta T_{\text{пп}}=(2T_{\text{пп}}\Delta\sigma)/q\rho_s R, \quad (1)$$

где q — теплота плавления в свободном состоянии, приходящаяся на 1 г вещества; $\rho_s \approx 1 \text{ г}/\text{см}^3$; $\Delta\sigma=\sigma_{\text{s}, \text{ст}}-\sigma_{\text{L}, \text{ст}}$ — разность поверхностных энергий на границах раздела фаз кристалл—стекло ($\sigma_{\text{s}, \text{ст}}$) и расплав—стекло ($\sigma_{\text{L}, \text{ст}}$). Подстановка в формулу (1) экспериментальных значений: $q=67 \text{ Дж}/\text{г}$, $T_{\text{пп}}=325 \text{ К}$, $R_1=600 \text{ \AA}$, $\Delta T_{\text{пп}}=1 \text{ К}$ (макропоры) и $R_2=60 \text{ \AA}$, $\Delta T_{2,\text{пп}}=10 \text{ К}$ (микропоры) дает для микро- и макропор одинаковое значение $\Delta\sigma=6.2 \text{ эрг}/\text{см}^2$.

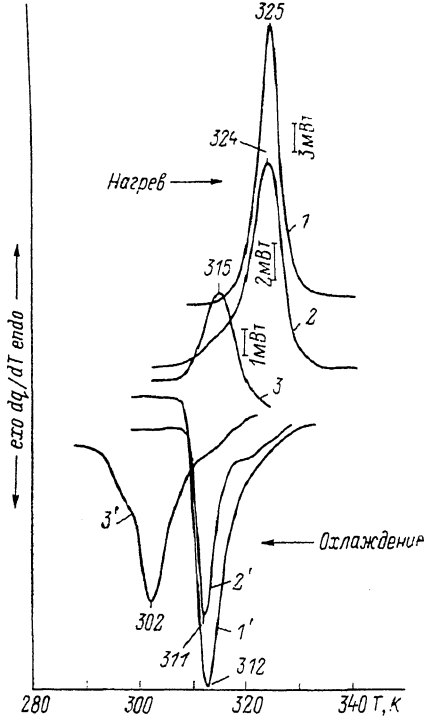


Рис. 4. Калориметрические кривые плавления (1—3) и кристаллизации (1'—3') ПВЭ-17 в свободном состоянии (1, 1'), в макропорах (2, 2') и в микропорах (3, 3').

Уменьшение теплоты плавления полимерного кристалла в порах, как и в случае низкомолекулярных кристаллов в дисперсном состоянии [10], объясняется тем, что диспергирование кристалла переводит часть вещества в поверхностный слой, который выключается из кристаллизации. Это не исключает возможности возникновения в поверхностном слое полимера ориентационного порядка, навязанного стенкой поры, при отсутствии позиционного порядка подобно тому, как это имеет место в нематической фазе жидких кристаллов.

Экспериментальные данные по теплотам плавления позволяют оценить максимальный средний размер микрофазы $\langle r_0 \rangle$, ниже которого кристалл не образуется и, следовательно, теплота плавления такой частицы равна нулю. Для этого можно воспользоваться соотношением [10]

$$q_{1,2} \approx q(1 - \langle r_0 \rangle / R), \quad (2)$$

где $q_{1,2}$ — удельная теплота плавления в макро- или в микропорах, а средний размер микрофазы $\langle R \rangle$ равен радиусу макро (R_1) или микропоры (R_2). Оценка по формуле (2) для макропор дает значение $\langle r_0 \rangle \approx 27 \text{ \AA}$, а для микропор $\langle r_0 \rangle \approx 24 \text{ \AA}$. Учитывая качественный характер рассуждений, полученные величины $\langle r_0 \rangle$ можно считать совпадающими. Таким образом, если область кристаллизации имеет средние размеры, не превышающие 5—7 периодов решетки, то изменения макроскопических свойств будут иметь не только количественный характер (уменьшение температур и теплот плавления), но и качественный — кристаллическая решетка не образуется. Отсутствие рефлекса, соответствующего периоду $D=56 \text{ \AA}$ в порах с радиусом 60 \AA , можно считать прямым экспериментальным фактом, подтверждающим корреляцию между размером кристаллизующейся частицы и ее структурным параметром — периодом решетки.

Размер пор влияет не только на процесс плавления, но и на кристаллизацию введенного в поры вещества. Классическая теория [13] (см. также [12]) гетерогенного зародышеобразования в том случае, когда последнее происходит с образованием контакта зародыша—матрица только для одной грани кристаллита, определяет связь между радиусом критического зародыша r и понижением температуры кристаллизации ΔT_{kp} в порах по сравнению с T_{pl} в свободном состоянии ($\Delta T_{kp} = T_{pl} - T_{1,2,kp}$) следующим соотношением:

$$\Delta T_{kp} = \frac{(\sigma_{sL} + \Delta\sigma)}{r} \frac{T_{pl}}{q\varrho_s}, \quad (3)$$

где σ_{sL} — межфазная (кристалл—расплав) поверхностная энергия. Указанный механизм зародышеобразования имеет место, если а) $\Delta\sigma < \sigma_{sL}$, б) $\Delta T_{kp} > \Delta T_{pl}$. В нашем случае оба эти неравенства выполняются. Если в формуле (3) интерпретировать [10, 12] r как размер частиц кристаллизующегося полимера, определяемый размером микропор, то, полагая $r=R_2$ и используя экспериментальные значения $\Delta T_{kp}=23 \text{ K}$, $\Delta\sigma=6.2 \text{ эрг}/\text{см}^2$, получим $\sigma_{sL}=22.3 \text{ эрг}/\text{см}^2$, что по порядку величины совпадает с σ_{sL} молекулярных кристаллов [10—12]. Измерение сдвигов температур плавления и кристаллизации в порах — экспериментально более простая задача, чем аналогичные исследования для свободных маленьких частиц, так как размер пор фиксирован и заранее известен. Все величины, входящие в (3), кроме σ_{sL} , определяются в независимых экспериментах, поэтому измерение ΔT_{pl} и ΔT_{kp} в порах может рассматриваться как метод экспериментального определения σ_{sL} , что представляет интерес как самостоятельная задача.

Из формул (1), (3) следует выражение для радиуса критического зародыша, которое справедливо и при $R > r$

$$r = \sigma_{sL} 2T_{pl} / (2\Delta T_{kp} - \Delta T_{pl}) q\varrho_s. \quad (4)$$

При кристаллизации в макропорах радиус критического зародыша в общем случае не равен радиусу поры и формула (4) может быть использована для определения r по экспериментальным значениям $\Delta T_{\text{кр}}$ и $\Delta T_{\text{пп}}$, которые в макропорах равны $\Delta T_{\text{кр}}=14$ К, $\Delta T_{\text{пп}}=1$ К и ранее определены σ_{sL} . Расчет дает значение $r=80$ Å. Отметим, что эта величина совпадает с размером кристаллита в поликристаллическом образце, определяемым из полуширины дифрактограммы 1 (рис. 1).

Кроме особенностей, определяющих понижение температур и теплот плавления ПВЭ-17 в порах по сравнению со свободным состоянием, и отсутствия двухслойной упаковки боковых радикалов в микропорах, имеется еще одно отличие в структуре полимера, синтезированного в макропорах. Это отличие проявляется в двух согласованных экспериментальных результатах: 1) на малоугловой рентгенограмме имеется пик, соот-

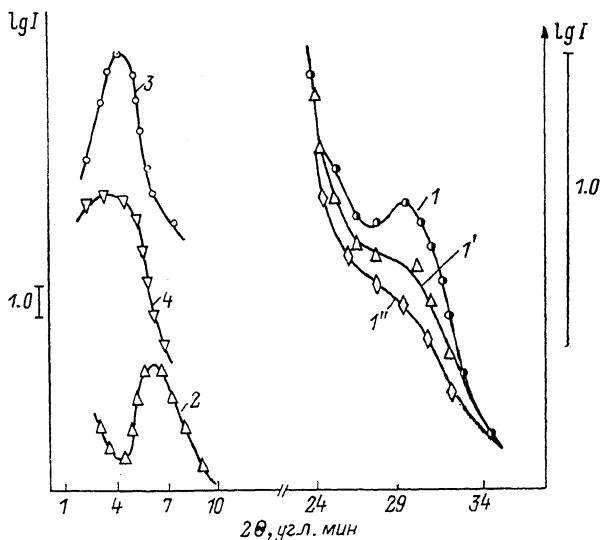


Рис. 5. Малоугловые рентгенограммы.

1, 1', 1'', 3, 4 — поливинилстеарат в макропорах; 2 — макропристое стекло. 1, 1', 1'' — правая шкала; 2—4 — левая шкала. T , К: 283 (1), 311 (1', 3), 351 (1''), 329 (4).

ветствующий периоду $L=180$ Å (рис. 5, кривая 1), отсутствующий в свободном состоянии; 2) координата максимума, на рентгенограмме, полученной для пустой макропристой матрицы (рис. 5, кривая 2), которая, как было показано ранее [7], соответствует характерному размеру $D_{\text{ст}}$ структурного элемента твердой фазы матрицы, после заполнения пор полимером сдвигается в область меньших углов (кривая 3) и соответствует увеличению характерного размера до значения $D_1=D_{\text{ст}}+2L$. Эти два факта могут быть связаны с образованием на стенке поры поверхностно упорядоченного слоя с ориентационным порядком в расположении боковых радикалов, одинаковой толщины по всей поверхности раздела фаз, равной 180 Å, который по рассеивающим свойствам отличается от остального полимера в межпоровом пространстве (рис. 3, г).

Пик, определяющий $L=180$ Å, оказывается стабилизированным поверхностью ориентирующим действием стенки пор и размывается при более высоких температурах, чем $T_{\text{пп}}$ (рис. 5, 1', 1''); при этом пик, соответствующий $D_1=1290$ Å, также размывается (кривая 4).

Исследование физических свойств молекулярных кристаллов, помещенных в пористые силикатные матрицы с порами различных размеров, позволяет определить ряд основных термодинамических характеристик этих кристаллов, определение которых в свободном состоянии невозможно или встречает принципиальные трудности. Выбор объекта исследования,

особенностью которого является соизмеримость структурного элемента с размером объема кристаллизации, позволил экспериментально определить межфазную энергию кристалл—расплав, радиус критического зародыша и максимальный средний размер микрофазы, ниже которого кристалл не образуется. Использование пористых матриц с фиксированными структурными характеристиками служит экспериментальным приемом, дающим возможность эффективно исследовать поверхностные и размерные эффекты.

Список литературы

- [1] Богомолов В. Н., Колла Е. В., Кумзеров Ю. А. // Письма в ЖЭТФ. 1985. Т. 41. №. 1. С. 28—31.
- [2] Kadanoff L. P. // Ann. of Phys. 1979. V. 120. P. 39—71.
- [3] Богомолов В. Н., Квятковский Б. Е., Колла Е. В. и др. // ФТТ. 1981. Т. 23. № 7. С. 2173—2175.
- [4] Петров Ю. И. Физика малых частиц. М.: Наука, 1982. С. 359.
- [5] Петров Ю. И. Кластеры и малые частицы. М.: Наука, 1986. С. 367.
- [6] Wilson K. G., Kogut J. // Phys. Reports. 1974. V. 12C. № 2. P. 75—199.
- [7] Алиев Ф. М., Поживилко К. С. // ФТТ. 1988. Т. 30. № 8. С. 2343—2348.
- [8] Алиев Ф. М., Замойская Л. В., Зарубин А. Б. и др. // Высокомолек. соед. Б. 1986. Т. 28. № 10. С. 760—762.
- [9] Платэ Н. А., Шибаев В. П. Гребнеобразные полимеры и жидкие кристаллы. М.: Химия, 1980. С. 303.
- [10] Волынский А. Л., Гроховская Т. Е., Луковкин Г. М. и др. // Высокомолек. соед. А. 1984. Т. 26. № 7. С. 1456—1462.
- [11] Алиев Ф. М. // Кристаллография. 1988. Т. 33. № 4. С. 969—975.
- [12] Волков А. В., Москвина М. А., Волынский А. Л. и др. Высокомолек. соед. А. 1987. Т. 29. № 8. С. 1651—1657.
- [13] Вандерлих Б. Физика макромолекул. Т. 2. М.: Мир, 1979. С. 623.

Ленинградский институт
точной механики и оптики
Ленинград

Поступило в Редакцию
1 декабря 1988 г.